

(19)

Europäisches Patentamt

European Patent Office

Office européen des brevets



(11)

EP 0 778 648 A1

(12)

## EUROPÄISCHE PATENTANMELDUNG

(43) Veröffentlichungstag:  
11.06.1997 Patentblatt 1997/24

(51) Int Cl. 6: H02K 3/14

(21) Anmeldenummer: 96810769.8

(22) Anmeldetag: 11.11.1996

(84) Benannte Vertragsstaaten:  
AT DE ES FR GB IT(72) Erfinder: Haldemann, Johann  
5242 Birr (CH)

(30) Priorität: 05.12.1995 DE 19545307

(74) Vertreter: Weibel, Beat et al  
Asea Brown Boveri AG  
Immaterialgüterrecht (TEI)  
Haselstrasse 16/699 I  
5401 Baden (CH)(71) Anmelder: ASEA BROWN BOVERI AG  
5400 Baden (CH)

## (54) Verröbelter Statorwicklungsstab mit erweitertem Feldausgleich

(57) Wicklungsstäbe von Wechselstrommaschinen bestehen aus einer Vielzahl gegeneinander elektrisch isolierter Teilleiter, welche nach dem Roebel-Prinzip verdrillt sind. Die Teilleiter in beiden Stirnbügelabschnitten (4,5) als auch im Aktivteilabschnitt (6) sind miteinander verdrillt sind.

Um einen nahezu perfekten Feldausgleich im Wickelkopf zu erzielen, weisen die Teilleiter (1) in beiden Stirnbügelabschnitten eine Verdrillung zwischen

60° und 120° auf. Im Aktivteilabschnitt (6) ist entweder eine Unterverroebelung vorgesehen, d.h. die Verdrillung im Aktivteilabschnitt (6) ist gleichmässig und kleiner als 360°, oder bei vollständiger 360°-Verdrillung im Aktivteilabschnitt (6) ist in Aktivteilmitte (M) eine Leerlänge (8), d.h. ein unverdrillter Abschnitt, vorgesehen, während die Verdrillung im Aktivteilabschnitt (6) ausserhalb dieses unverdrillten Abschnitts (8) eine gleichmässige 180°-Verroebelung ist.

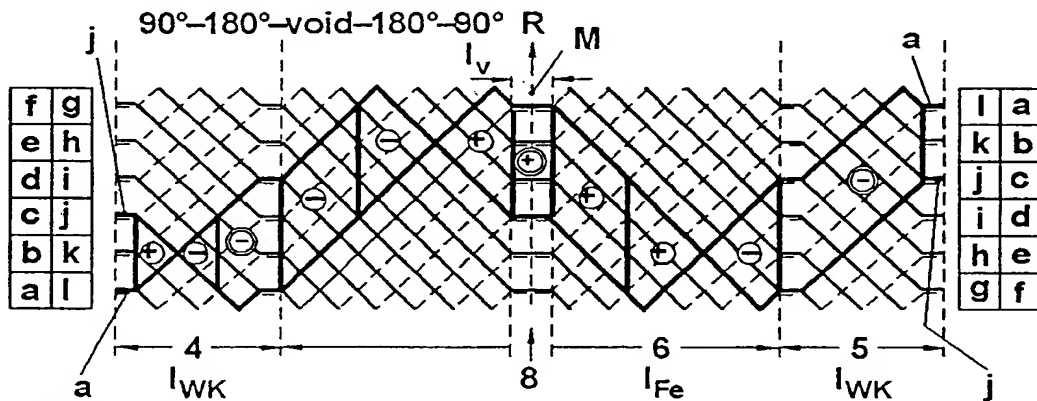


FIG. 3b

## Beschreibung

### TECHNISCHES GEBIET

Die Erfindung bezieht sich auf einen an den Enden kurzgeschlossenen Wicklungsstab von Wechselstrommaschinen mit erweitertem Feldausgleich gemäss dem Oberbegriff des Patentanspruchs 1.

Die Erfindung nimmt dabei Bezug auf einen Stand der Technik, wie er sich beispielsweise aus der DE-PS 14 88 769 ergibt.

### TECHNOLOGISCHER HINTERGRUND UND STAND DER TECHNIK

Statorwicklungsstäbe von grossen Wechselstrommaschinen bestehen regelmässig aus einer Vielzahl von gegeneinander isolierten und nach dem Roebel-Prinzip untereinander verdrillter Teilleiter, die an beiden Stabenden kurzgeschlossen sind (vgl. Sequenz "Herstellung der Wicklungen elektrischer Maschinen", Springer-Verlag Wien, New York, 1973, Seiten 69 - 83, insbesondere Abb 19 auf Seite 79).

Der klassische Roebelstab weist eine 360°-Verdrillung im Nutteil auf. In den Stirnbügeln sind die Teilleiter parallel, also unverdrillt, geführt. Man hat aber sehr bald erkannt, dass auch ausserhalb der Nut die Stäbe von Wechselfeldern erfasst werden, welche die Stirnbügel von der Breitseite (Querkomponenten) wie von der Schmalseite (Radialkomponenten) durchsetzen.

Um unerwünschten Zusatzverlusten durch das Stirnfeld des Stators vorzubeugen, sind die Stirnbügel in gegeneinander isolierte Teilleiter unterteilt. Doch entstehen dabei immer noch Verluste durch sogenannte Schlingströme, die sich über die Verbindungshülsen an den Stabenden schliessen. Aus diesem Grund wurden eine Reihe von Sonderverdrillungen vorgeschlagen, die sich sowohl auf den Nut- oder Aktivteil des Stabes, als auch auf seinen Stirnbügelteil beziehen. G. Neidhöfer gibt in dem benannten Buch von Sequenz im Abschnitt 3.3 "Roebelstäbe mit erweitertem Feldausgleich" einen nahezu vollständigen Überblick über die verschiedenen Möglichkeiten, den erweiterten Feldausgleich zu erreichen und damit grössere Temperaturdifferenzen und damit lokale Überhitzungen innerhalb des Stabes zu eliminieren. Eine besonders wirtschaftliche Lösung ist dabei die 90°/360°/90°-Verdrillung, d.h. die Teilleiter in beiden Stirnbügeln sind um jeweils 90°, die Teilleiter im Aktivteil sind um 360° verdrillt (vgl. Sequenz a.a.O. Abb.24 auf Seite 74, oder DE-PS 14 88 769).

Weil bei Maschinen mit kurzer Aktivteillänge, z.B. Hydro-Generatoren, infolge der Verroebelung in den Stirnbügeln die Gesamtlänge der Maschine grösser wird, und die Abstützung der weitausladenden Stirnbügel sehr aufwendig ist, wird im Konferenzbericht ISSN-93 "Proceedings of the International Symposium on Salient-Pole Machines", 10. - 12. Oktober 1993, WUHAN, China, , Seite 384 - 389, im Beitrag von Xu Shanchun

et al. "A New Transposition Technique of Stator Bars of The Hydrogenerator" ein neuartiger Weg zum erweiterten Feldausgleich vorgeschlagen, nämlich eine sogenannte Unterverroebelung ("non-360° transposition" oder "incomplete transposition") oder eine sogenannte Leerlänge ("transposition with a void") im Aktivteil in Kombination mit nichtverdrillten Stirnbügelteilen. Jeder der beiden "Sonderverdrillungen" erreicht eine merkliche Verkleinerung der Schlingströme, und sie sollen nach Aussagen des Konferenzberichts die Temperaturdifferenzen innerhalb des Stabes stark verkleinern.

5 et al. "A New Transposition Technique of Stator Bars of The Hydrogenerator" ein neuartiger Weg zum erweiterten Feldausgleich vorgeschlagen, nämlich eine sogenannte Unterverroebelung ("non-360° transposition" oder "incomplete transposition") oder eine sogenannte Leerlänge ("transposition with a void") im Aktivteil in Kombination mit nichtverdrillten Stirnbügelteilen. Jeder der beiden "Sonderverdrillungen" erreicht eine merkliche Verkleinerung der Schlingströme, und sie sollen nach Aussagen des Konferenzberichts die Temperaturdifferenzen innerhalb des Stabes stark verkleinern.

### KURZE DARSTELLUNG DER ERFINDUNG

15 Ausgehend vom geschilderten Stand der Technik liegt der Erfindung die Aufgabe zugrunde, einen verroebelten Statorwicklungsstab mit erweitertem Feldausgleich zu schaffen, der eine noch weitergehende Unterdrückung der Schlingströme und damit Abflachung des Temperaturprofils im Leiterstab ermöglicht.

Diese Aufgabe wird erfindungsgemäss dadurch gelöst, dass die Teilleiter im Stirnbügelteil eine Verdrillung zwischen 60° und 120° aufweisen, und im Aktivteilschnitt eine Unterverroebelung vorgesehen ist, d.h. die

25 Verdrillung im Aktivteilschnitt gleichmässig und kleiner als 360° ist, oder bei vollständiger 360° -Verdrillung im Aktivteilschnitt in Aktivteilmitte eine Leerlänge, d. h. ein unverdrillter Abschnitt, vorgesehen ist, während die Verdrillung im Aktivteil ausserhalb dieses unverdrillten Abschnitts eine gleichmässige 180° -Verroebelung.

30 Die gemeinsame Anwendungen der Teillehren nach der DE-PS 14 88 769 (Sonderverroebelung mit 90°/360°/90°-Verdrillung) und einer Unterverroebelung/Leerlänge im Aktivteil nach XU Shanchun et al. a.a.O. führt zu einem Leiterstab, der eine nicht ohne weiteres vorhersehbare praktisch vollständige Unterdrückung der Schlingströme ermöglicht und damit eine nochmaliige Abflachung des Temperaturprofils im Leiterstab erzielt wird.

35 40 Die Erfindung lässt sich bei allen mittleren und grossen elektrischen Maschinen wie Turbogeneratoren oder Hydrogeneratoren einsetzen.

Nachstehend werden anhand der Zeichnung die Erfindung und die ihr zugrundeliegenden Überlegungen 45 anhand von Ausführungsbeispielen näher erläutert.

### KURZE BESCHREIBUNG DER ZEICHNUNG

In der Zeichnung zeigt:

50 55 Fig.1 eine schematische Draufsicht auf einen bekannten Roebelstab mit erweitertem Feldausgleich mit 90°/360°/90° -Verdrillung;

Fig-2 Diagramme von Roebelstäben mit verschiedenen Verdrillungen zur Verdeutlichung der Wirkung des Eigenfeldes, und zwar für einen Roebelstab mit der bekannten 90°-360°-90°-Ver-

roebelung (Fig.2a), einen Roebelstab mit Leerlänge (Fig.2b) und einen Roebelstab mit Unterveroebelung (Fig.2c);

Fig.3 Diagramme von Roebelstäben mit verschiedenen Verdrillungen zur Verdeulichung der Wirkung des Fremdfeldes, und zwar für einen Roebelstab mit der bekannten 90°-360°-90°-Verroebelung (Fig.3a), einen Roebelstab mit Leerlänge (Fig.3b) und einen Roebelstab mit Unterveroebelung (Fig.3c);

Fig.4 eine schematische Darstellung der Hälfte eines unterverroebelten Stabes mit fünf Teilleitern pro Säule mit 324°-Verdrillung.

#### WEGE ZUR AUSFÜHRUNG DER ERFINDUNG

Der Roebelstab nach Fig.1 besteht aus gegeneinander elektrisch isolierten Teilleitern 1, die an den Enden durch Oesen 2, 3 elektrisch und mechanisch miteinander verbunden sind. Er besteht aus zwei Stirnbügelabschnitten 4, 5 im linken und rechten Wickelkopf und einem Aktivteilabschnitt 6. Letzterer liegt vollständig in (nicht dargestellten) Nuten im Statorblechlörper 7 (Aktivteil) der elektrischen Maschine. Die beiden Stirnbügelteile 4,5 sind um jeweils 90° verroebelt, der Aktivteil 6 ist um 360° verroebelt.

Das schematische Diagramm gemäss Fig.2a bzw. 3a für den Roebelstab mit 90°/360°/90°-Verdrillung nach Fig.1 zeigt der Verlauf der im Beispielsfall fünf Teilleiter a bis f bzw. g bis 1 pro Teilleitersäule im linken Stirnbügel 4, im Aktivteil 6 und im rechten Stirnbügel 5. Man erkennt deutlich, wie die einzelnen Teilleiter im Aktivteil 6 in der Nut jede Position einnehmen (= 360°-Verdrillung), während sie in den Stirnbügeln 90° verdrillt sind. Der Teilleiter d in beiden Stirnbügeln 4, 5 zusammengekommen am längsten gegen den Rotor R hin positioniert. Die anderen Teilleiter sind weniger lang gegen den Rotor R hin positioniert. Wie aus der bekannten Wirkung des elektromagnetischen Feldes auf den Stirnbügelteil eines unverroebelten Stabes hervorgeht, ist der Teilleiter d mit am meisten Strom belastet, die restlichen sukzessive mit weniger. Für das Verständnis der Erfindung genügt es festzuhalten, dass bei einer 90°-360°-90°-Verdrillung das Wickelkopf-Eigenfeld völlig kompensiert ist, während das Wickelkopf-Fremdfeld nur teilweise ausgeglichen werden (vgl. SEQUENZ a.a.O., insbesondere S.74, Abb. 24, und den zugehörigen Text auf Seite 75).

Hier setzt nun die Erfindung ein. Bildet man nun an einem in den Stirnbügeln 4, 5 mit 90° verroebelten Leiterstab den Aktivteilabschnitt 6 mit einer Unterveroebelung, d.h. einer Verroebelung mit weniger als 360°-Verdrillung aus, oder sieht man in Aktivteilmittte eine Leerlänge (=unverroebelter Abschnitt) mit 360°-Verdrillung ausserhalb der Leerlänge vor, so werden diejenigen Teilleiter, die hohe Ströme führen, länger am Nutgrund

belassen. Sie geben dann Strom an diejenigen Teilleiter ab, die näher an der Nutöffnung, also mehr dem Rotor R benachbart sind. Dies sind aber gerade diejenigen Teilleiter, welche weniger Strom führen. Auf diese Weise lässt sich eine nahezu perfekte gleichmässige Stromverteilung im Leiterstab erreichen.

Die beiden Varianten Leerlänge und Unterveroebelung sind in den beiden Diagrammen nach Fig.2b und 3b bzw. Fig.2c und Fig.3c im Vergleich zum bekannten Roebelstab mit 90°-360°-90°-Verroebelung nach Fig.2a und Fig.3a schematisch dargestellt, wobei sich die Fig 2a, 2b und 2c sich auf die Eigenfeldbetrachtung, Fig.3a, 3b und 3c auf die Fremdfeldbetrachtung beziehen. Die Darstellung lehnt sich dabei an die in der Literatur übliche Darstellungsweise von Roebelstäben an, wie sie z.B. auch in der eingangs genannten DE-PS 14 88 769 verwendet wurde. So symbolisieren die von links oben nach rechts unten verlaufenden durchgehend eingezeichneten Linien Teilleiterbahnen, die sich bei Seitenansicht eines Zweiebenenstabes (Fig.1) auf dessen Vorderseite befinden; unterbrochene Linien zeigen die Bahnen auf der Rückseite, d.h. in der zweiten Teilleiterebene. Ferner ist in den Figuren 2a bis 2c der jeweilige Feldverlauf  $B_E$  des Eigenfeldes  $B_F$  im Aktivteil und der Eigenfeldes  $B_{Wk}$  im Wickelkopf über die Stabhöhe dargestellt. Die Minus- und Pluszeichen im Kreis bedeuten dabei das Vorzeichen der in den Teilleiterflächen der Elementarschleifen induzierten Spannungen unter Berücksichtigung des Umlaufsinns der Flächenkonturen sowie die Richtung des sie durchsetzen Flusses. Die in Fig.2a und 3a mit einem Fragezeichen im Kreis bezeichneten Flächen symbolisieren den nicht ausgeglichenen Teil am nicht verroebelten Übergang vom Aktivteil 6 zu den Stirnbügeln 4 bzw. 5. In den Figuren 3a bis 3c ist ferner die Lage der im Beispielsfall 12 Teilleiter a bis 1 an den Stabenden eingezeichnet.

Bevor die Erfindung näher beschrieben wird, seien folgende Feldbetrachtungen vorangestellt:

Wie bei Stab mit 90°-360°-90°-Verroebelung nach Fig.3a zu erkennen ist, verbleibt bei der Fremdfeldbetrachtung ein Schleifenteil, der nicht kompensiert ist (Fragezeichen im Doppelkreis). Dieser nichtkompensierte Teil erzeugt Schlingströme, welche über die Stabhöhe sinh-förmig (antisymmetrisch) verteilt sind. Ziel der Leerlänge/Unterveroebelung im Aktivteil ist, diesen Rest auszugleichen. Wie später noch näher erläutert wird, gelingt dieser Ausgleich, in dem nun im Aktivteil 6 ein nichtausgeglicherener Teil - symbolisiert durch ein Pluszeichen im Doppelkreis - erzeugt wird, der demjenigen im Stirnbügelteil 4 bzw. 5 - symbolisiert durch ein Minuszeichen im Doppelkreis - entgegenwirkt. Dazu ist zu bemerken, dass dieser Mechanismus nur dann funktioniert, wenn das Feld des Wickelkopfes am Ort des Stabes und das Nutfeld im Aktivteil etwa in Phase sind. Dies ist der Fall, da, wie bekannt, im Aktivteil sowie im Stirnbügelteil die Stromverdrängung in die gleiche Richtung (radial nach innen) erfolgt, was auf gleichphasige Felder zurückzuführen ist. Die relativ grossen unausge-

glichenen Schleifenteile im Wickelkopf können durch relativ kleine Gegenschleifen im Aktivteil kompensiert werden, das das Nutquerfeld bedeutend stärker ist.

Bei der Eigenfeldbetrachtung nach Fig.2a bis c ist zu erkennen, dass bei Stab mit 90°-360°-90° -Verroebung die Schleifen vollständig kompensiert sind. Nur eventuell nichtverdrillte Stabteile, z.B. am Aktivteilaustritt, ergeben Restspannungen für Schlingströme. Eine Leerlänge 8 im Aktivteil 6 erzeugt nun Schlingspannungen, welche Schlingströme ergeben, die bezüglich der Stabhöhe cosh-förmig (symmetrisch) verteilt sind. Der Effekt von eventuell nicht verdrillten Stabteilen des Wickelkopfes unmittelbar am Aktivteilaustritt würde verstärkt. Im Gegensatz dazu bewirkt eine Unterverroebung im Aktivteil das Gegenteil. Die nichtkompensierten Teile im Wickelkopf stehen dem nichtkompensierten Teil im Aktivteil entgegen und löschen sich gegenseitig aus, wobei diese Kompensation eventuell nicht zu 100% erfolgt, das die Unterverroebung im Aktivteil auf die Kompensation des Wickelkopf-Fremdfeldes ausgerichtet ist. Es kann nun der Eindruck entstehen, dass mit der Erfindung an einem Ort eine Verbesserung erzielt wird (Fremdfeld), und am anderen Ort eine Verschlechterung (Eigenfeld). Dies ist in der Tat der Fall. Betrachtet man jedoch beide Ergebnisse zusammen, so resultiert gesamthaft gesehen eine Verbesserung, insbesondere bei der Unterverroebung.

Der Leiterstab nach Fig.2b und Fig.3b weist in Aktivteilmittie M eine Leerlänge 8 auf, d.h. einen Abschnitt, in welchem die Teilleiter a bis 1 parallel geführt sind. Ausserhalb dieses Bereichs 8 links und rechts der Leerlänge beträgt die Verroebung jeweils 180°. Die axiale Länge  $l_v$  dieser Leerlänge 8 ist in erster Näherung von der Grösse der Wickelkopfausladung  $l_{WK}$  abhängig. Mit modernen Rechenmethoden lässt sich bei einer konkreten Maschine diese Leerlänge vergleichsweise exakt bestimmen, als Richtwert kann jedoch angegeben werden, dass die Grösse  $l_v$  der Leerlänge 8 zwischen 5 und 10%, maximal 15% der Ausladung  $l_{WK}$  betragen sollte, um einen praktisch vollkommenen (erweiterten) Feldausgleich im Wickelkopf zu erzielen. Als zweiter Richtwert kann für die Bemessung der Leerlänge 8 bei Turbogeneratoren angegeben werden, dass bis 10% der Aktivteillänge  $l_{Fe}$  betragen kann.

Der Leiterstab nach Fig.2c und Fig.3c weist im Aktivteil 6 eine Unterverroebung, d.h. eine von der üblichen 360°-Verdrillung nach unten abweichende Verdrillung auf. Bei dem in Fig.4 dargestellten Leiterstab mit jeweils 5 Teilleitern 1 pro Säule, also insgesamt 10 Teilleitern beträgt die Verdrillung 9/10 von 360°, also 324°, die Unterverroebung demgemäß 36°, was gleichzeitig bei einem solchen Stab die minimale Unterverroebung darstellt.

Reale Roebelstäbe weisen eine weit höhere Anzahl von Teilleitern auf. Diese liegt typisch zwischen 80 und 120 Teilleitern pro Stab. Somit ergibt sich bei einem Stab mit n Teilleitern und 360°-Verdrillung im Aktivteil eine minimale Unterverroebung von  $U = 360°/n$  in der

Grösse von 4,5° bei 80 Teilleitern und 3° bei 120 Teilleitern pro Leiterstab.

Analog zur Bemessung der Leerlänge ist auch der Grad der Unterverroebung in erster Näherung abhängig von der Wickelkopfausladung. Je grösser diese Ausladung ist, desto grösser wird auch der Einfluss des Stirnfeldes im Wickelkopf und demgemäß sollte auch der Grad der Unterverroebung im Aktivteil höher sein. Wie bei der Bemessung der Leerlänge lässt sich auch hier der Grad der Unterverroebung mit modernen Rechenmethoden bei einer konkreten Maschine vergleichsweise exakt bestimmen, als Richtwert kann jedoch angegeben werden, dass die in Winkelgraden ca. 10° bis 15° betragen sollte, um einen praktisch vollkommenen (erweiterten) Feldausgleich im Wickelkopf zu erzielen.

In den vorstehenden Darlegungen wurde stets von einer Verdrillung in den Stirnbügeln von 90° ausgegangen. Umfangreiche Berechnungen haben gezeigt, dass auch mit Abweichungen von  $\pm 30°$ , also Verdrillungen von 60° bis 120° in den Stirnbügelabschnitten 4, 5, in Kombination mit Leerlängen oder Unterverroebung im Aktivteil 6 ein praktisch perfekter Feldausgleich im Wickelkopf zu erzielen ist.

Prinzipiell ist es möglich, Stäbe herzustellen, die bei der angegebenen Verdrillung im Stirnbügelabschnitt neben einer Leerlänge auch eine Unterverroebung aufweisen. Die Herstellung derartiger Leiterstäbe ist jedoch aufwendig, kann jedoch für Sonderfälle durchaus in Betracht gezogen werden.

#### BEZEICHNUNGSLISTE

1	Teilleiter
35	Oesen
2,3	linker Stirnbügelabschnitt
4	rechter Stirnbügelabschnitt
5	Aktivteilabschnitt
6	Aktivteil (Statorblechkörper)
7	Leerlänge
8	Aktivteillänge
$l_{Fe}$	Stirnbügelausladung
$l_{WK}$	Leerlänge
$M$	Aktivteilmittie
40	Anzahl Teilleiter pro Stab
45	Rotor
a-1	Teilleiterbezeichnungen in den Diagrammen
U	in Winkelgraden gemessene Unterverroebung

50

#### Patentansprüche

1. An den Enden kurzgeschlossenen Wicklungsstab von Wechselstrommaschinen mit erweitertem Feldausgleich, welcher Leiterstab aus einer Vielzahl gegeneinander elektrisch isolierter Teilleiter (1) aufgebaut ist, welche Teilleiter nach dem Roebel-Prinzip verdrillt sind, wobei sowohl die Teilleiter in beiden

Stirnbügelabschnitten (4,5) als auch im Aktivteilabschnitt (6) miteinander verdrillt sind, dadurch gekennzeichnet, dass die Teilleiter (1) in beiden Stirnbügelabschnitten eine Verdrillung zwischen 60° und 120°, vorzugsweise 90°, aufweisen, und im Aktivteilabschnitt (6) eine Unterverroebelung vorgesehen ist, d.h. die Verdrillung im Aktivteilabschnitt (6) gleichmässig und kleiner als 360° ist, oder bei vollständiger 360°-Verdrillung im Aktivteilabschnitt (6) in Aktivteilmitte (M) eine Leerlänge (8), d.h. ein unverdrillter Abschnitt, vorgesehen ist, während die Verdrillung im Aktivteilabschnitt (6) ausserhalb dieses unverdrillten Abschnitts (8) eine gleichmässige 180°-Verroebelung ist.

5

10

15

2. Windungsstab nach Anspruch 1, dadurch gekennzeichnet, dass die Leerlänge (8) eine Länge ( $l_y$ ) in der Grössenordnung von etwa 10% der Wickelkopfausladung ( $l_{wk}$ ) aufweist.

20

3. Windungsstab nach Anspruch 1, dadurch gekennzeichnet, dass bei Unterverroebelung im Aktivteilabschnitt (6) die in Winkelgraden gemessene Unterverroebelung 10° bis 15° beträgt.

25

30

35

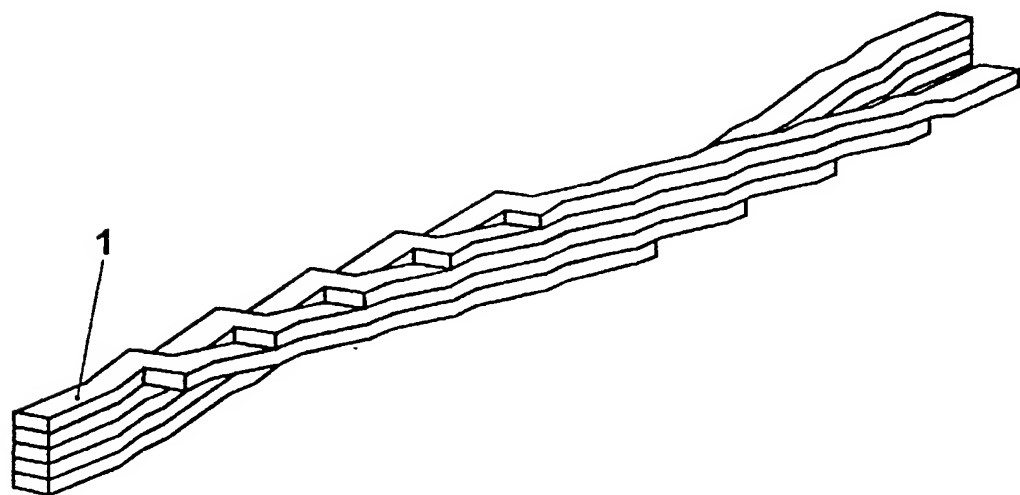
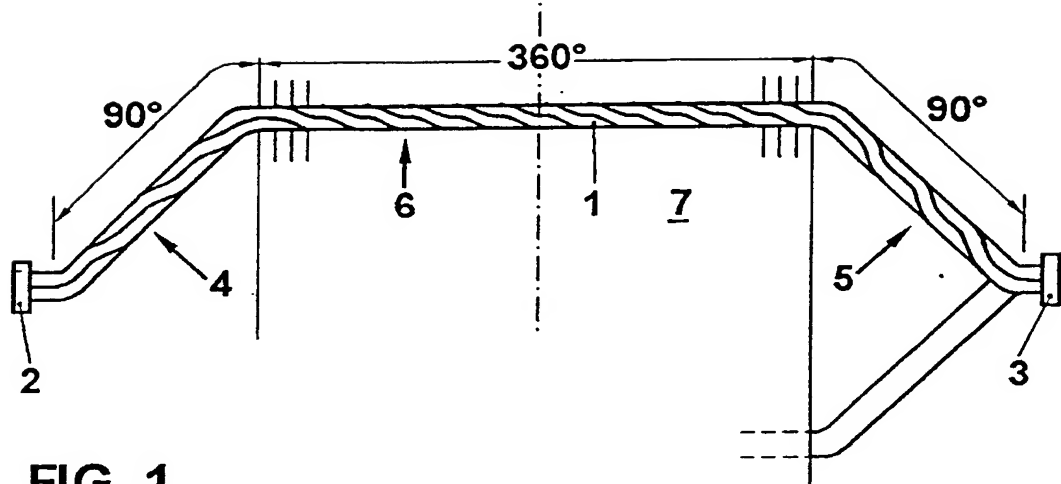
40

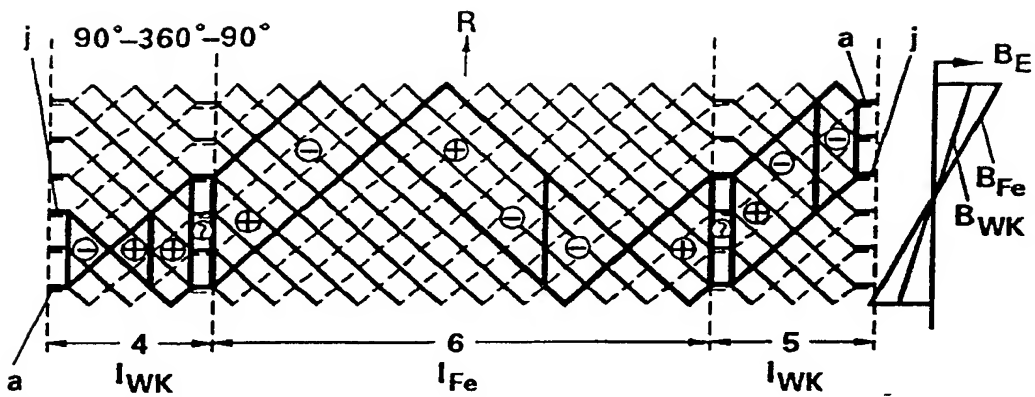
45

50

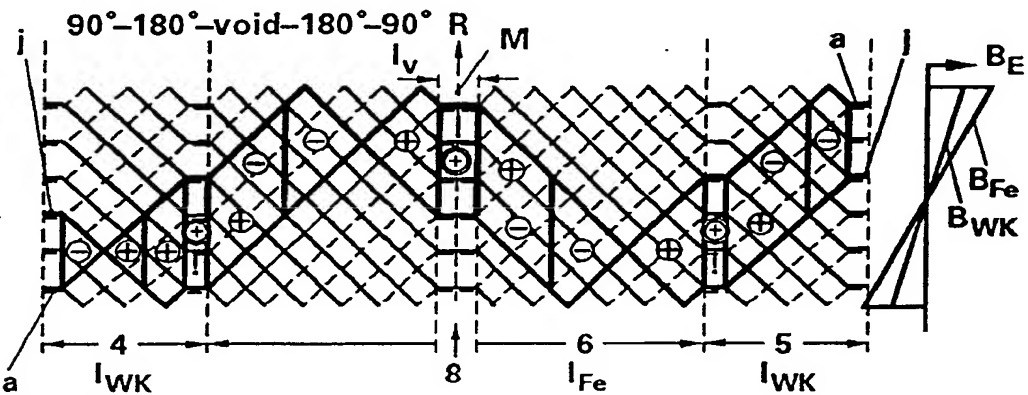
55

5

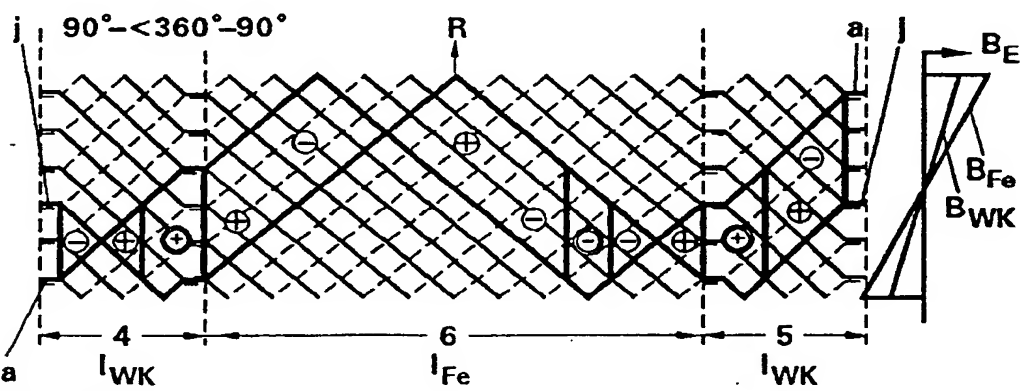




**FIG. 2a**



**FIG. 2b**



**FIG. 2c**

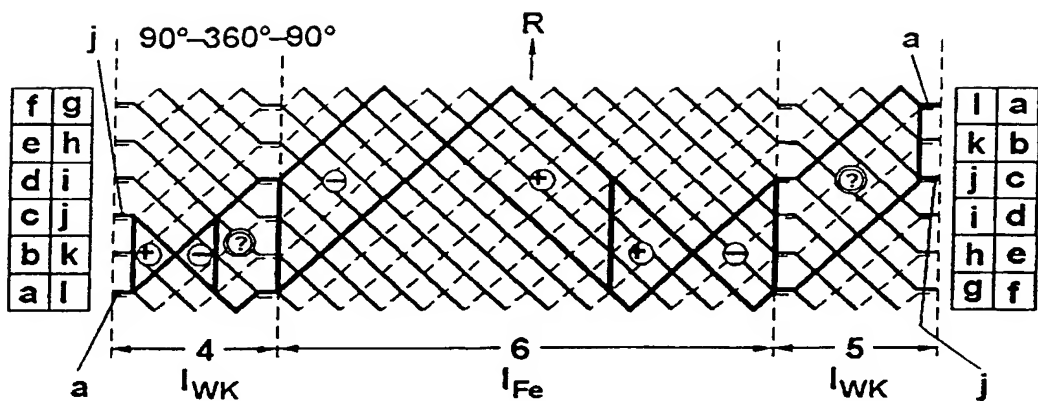


FIG. 3a

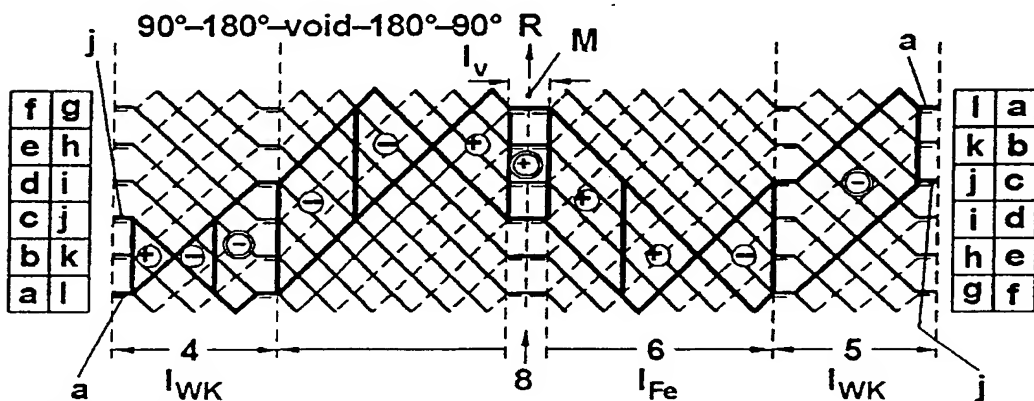


FIG. 3b

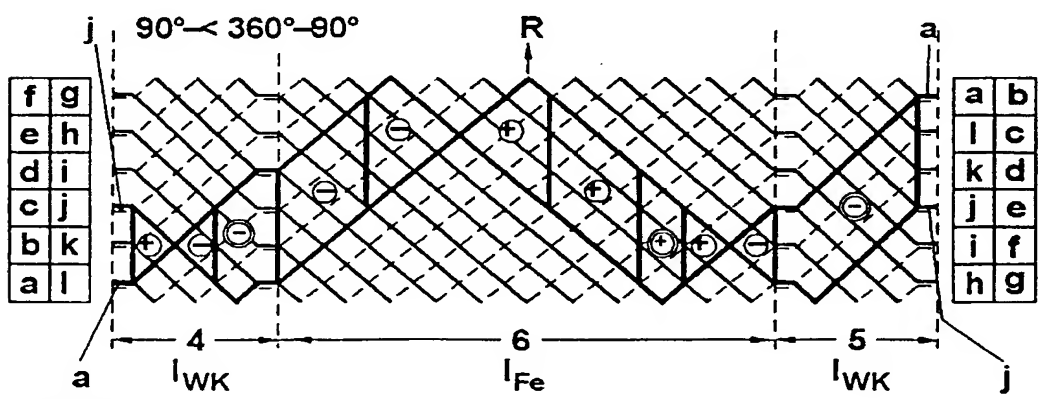


FIG. 3c



Europäisches  
Patentamt

## EUROPÄISCHER RECHERCHENBERICHT

Nummer der Anmeldung

EP 96 81 0769

EINSCHLÄGIGE DOKUMENTE			
Kategorie	Kenzeichnung des Dokuments mit Angabe, soweit erforderlich, der maßgeblichen Teile	Betrifft Anspruch	KLASSIFIKATION DER ANMELDUNG (Int.Cl.6)
A	US 3 585 428 A (BENNINGTON BERNARD J ET AL) 15.Juni 1971 * Spalte 3, Zeile 63 - Spalte 4, Zeile 62; Abbildung 1 ---	1	H02K3/14
A	TECHN.MITT. AEG-TELEFUNKEN, Bd. 63, 1973, BERLIN, Seiten 18-23, XP002029109 P. BAPAT: "Das Entstehen der Slingstromverluste in elektr. Masch. und Massnahmen zu ihrer Verringerung" tabelle 1 * Seite 21 *	1	
D,A	DE 14 88 769 A (ABB) 14.Mai 1969 Anspruch 1 -----	1	
RECHERCHIERTE SACHGEBiete (Int.Cl.6)			
H02K			
Der vorliegende Recherchenbericht wurde für alle Patentansprüche erstellt			
Recherchort	Abschlußdatum der Recherche	Prüfer	
DEN HAAG	9.April 1997	Zoukas, E	
KATEGORIE DER GENANNTEN DOKUMENTE			
X : von besonderer Bedeutung allein betrachtet Y : von besonderer Bedeutung in Verbindung mit einer anderen Veröffentlichung derselben Kategorie A : technologischer Hintergrund O : nichtschriftliche Offenbarung P : Zwischenliteratur		T : der Erfindung zugrunde liegende Theorien oder Grundsätze E : älteres Patentdokument, das jedoch erst am oder nach dem Anmeldedatum veröffentlicht worden ist D : in der Anmeldung angeführtes Dokument L : aus andern Gründen angeführtes Dokument & : Mitglied der gleichen Patentfamilie, übereinstimmendes Dokument	